

高等学校交流讲义

# 自动調整原理

西安交通大学电机系工企教研組編

只限学校内部使用



中国工业出版社

高等学校交流讲义



# 自动調整原理

西安交通大学电机系工企教研組編

中国工业出版社

本书包括綫性和非綫性自動調整理論基礎两大部分。綫性部分敘述了一般概念、自動調整系統的對象和元件、自動調整系統、數學基礎（拉氏變換）、傳遞函數和頻率特性、自動調整系統的穩定性；并对調整系統的品質進行了研究；非綫性部分闡述了自動調整系統的典型非綫性特性、研究非綫性自動調整系統的相轨迹法及諧波平衡法。

本書可供高等學校四、五年制工企專業及電機電器專業作為相應課程的試用教材。

书中綫性部分采用何文峻著“自動調整原理”的全部，非綫性部分采用B·B·羅洛多夫尼可夫主編、王眾詒譯“自動調整原理”第二十七和三十三兩章的全部；另加一些補充材料附于書末。

## 自動調整原理

西安交通大學電機系工企教研組編

\*

中國工業出版社出版（北京佟麟閣路丙10號）

（北京市書刊出版事業許可證出字第110號）

中國工業出版社第二印刷廠印刷

新华书店科技发行所发行·各地新华书店經售

\*

开本787×1092<sup>1</sup>/16·印張11·字数253,000

1961年10月北京第一版·1961年10月北京第一次印刷

印数0001—4,837·定价(10-6)1.35元

统一书号：15165·342 (水电-53)

# 目 录

## 第一部分 線性自動調整理論基礎

<b>第一章 一般概念</b>	5
1-1 自動調整的基本任务	5
1-2 自動調整系統的分类	7
1-3 对自动調整系統所提出的基本要求	10
<b>第二章 自动调整系统的对象和元件</b>	12
2-1 調整对象	12
2-2 調整器元件	15
<b>第三章 自动調整系統</b>	22
3-1 自動調整系統的靜特性及其作图法	22
3-2 按动态性质来划分自动調整系統成若干环节	24
3-3 編寫自动調整系統的方程式	30
3-4 自动調整系統方程式的編寫举例	31
<b>第四章 数学基础(拉氏变换)</b>	33
4-1 函数的拉氏变换的定义和公式	33
4-2 函数的导数和积分的拉氏变换	34
4-3 拉氏变换的反演	37
4-4 最終值定律和起始值定律	37
4-5 用拉氏变换解微分方程式	38
4-6 分解定律	39
<b>第五章 传递函数和频率特性</b>	42
5-1 传递函数的定义	42
5-2 由环节的传递函数求系統的传递函数	43
5-3 频率特性	45
5-4 频率特性的作图	47
<b>第六章 自动調整系統的稳定性</b>	52
6-1 稳定的概念	52
6-2 系統特征方程式的根与稳定性的关系	52
6-3 劳斯-吉尔維茨判据	55
6-4 米哈依洛夫判据	57
6-5 奈魁斯特判据	60
6-6 对数判据	64
6-7 $\Delta$ -域划分的概念	66
6-8 根据一个复数参数的 $\Delta$ -域划分	68
6-9 关于两个实数参数的 $\Delta$ -域划分	70
6-10 单环系統的稳定	72
6-11 自动調整系統的鎮定	75
6-12 各种鎮定装置的应用	79
<b>第七章 調整系統品質的研究</b>	81

7-1	調整過程品質的指標	81
7-2	調整過程品質的評價	81
7-3	間接評價	83
7-4	穩定度與振蕩度	84
7-5	積分評價	86
7-6	頻率法	88
7-7	頻率特性和調整過程之間的關係	91
7-8	按閉環系統實頻率特性的特點確定系統的某些品質指標	93
7-9	根據頻率特性繪出調整過程的近似法	95
7-10	閉環系統實頻率特性的繪制	97

## 第二部分 非線性自動調整理論基礎

<b>第八章</b>	自動調整系統的典型非線性特性	100
<b>第九章</b>	研究非線性自動調整系統的相述法	104
9-1	相平面的概念	104
9-2	積分曲線方程式和奇點的分類	108
9-3	自持振蕩和奇線的分類	112
9-4	右邊不可解析的方程式所描述的調整系統的相平面	114
9-5	多葉相曲面的概念	120
<b>第十章</b>	研究非線性自動調整系統的諧波平衡法	125
10-1	非線性元件的等效復放大系數	125
10-2	具有非線性元件的調整系統的方程式	130
10-3	非線性自動調整系統自持振蕩的穩定性	131
10-4	非線性調整系統穩定性的研究舉例	132
10-5	具有非零階非線性元件的調整系統的分析	142
10-6	非線性調整系統的鎖定	146
10-7	正弦波擾動下的非線性系統	147
10-8	某些非線性元件的等效復放大系數的計算	149

## 第一部分的補充材料

<b>(I)</b>	自動調整系統靜特性的作法	153
I-1	环节相聯接時的特性	153
I-2	閉合自動調整系統的靜特性	156
I-3	由 $n$ 個線性環節串聯成的單回路系統的靜特性	159
<b>(II)</b>	自動調整系統中對象和元件方程式的編寫法	160
II-1	具有一個自由度的理想化原動機的方程式	160
II-2	直流發電機的方程式	163
II-3	液力伺服馬達的方程式	167
II-4	他激直流電動機的方程式	169
<b>附錄</b>		171
1.	常用函數的拉氏變換表	171
2.	函數 $e^{-x}$ 以及以弧度(徑)為單位的角的積分正弦和三角函數表	172
3.	$h$ 函數表	175

# 第一部分

## 綫性自動調整理論基礎

### 第一章 一般概念

#### 1-1 自動調整的基本任務

在各種生產過程以及技術設備中，常常需要使其中的某些物理量（例如溫度、電壓、轉速等等）保持常數，或者讓它們按照一定的規律變化。要滿足這種需要，應該對生產機械或技術設備進行即時的調整，以抵銷外界的擾動和影響。這種調整，除了可以由人工來進行以外，還可以由機械來進行，即自動地進行。用來執行這種調整動作的設備，稱為調整器；被調整器控制的設備稱為調整對象。調整對象和調整器一起，統稱為自動調整系統。

儘管被調整的物理量有各式各樣的，並且就各種自動調整系統來說，它們的構造也可能有很大的差別，然而，在一些不同的自動調整系統中，無論如何，總有一個共同的目標，那就是要用機械的調整來代替人工的調整。為了弄清這種代替為什麼可能，以及究竟是怎樣代替的，首先值得我們考慮一下的，是在人工調整中，到底人擔任了哪些工作，或者說起了些什麼作用。

既然談到調整，那末，總有一個希望達到的目標；也就是總有一個理想情況，通常把它叫做給定值。例如，就一個溫度調整系統（圖1-1）來說，我們需要爐子1在什麼溫度工作，事先總有个數目；其次，這個爐子在任何時候的實際溫度也有個數目，調整人員的任務是：在測量了實際溫度以後，把它和給定溫度比較。倘若爐子的溫度比給定值高，我們便將圖中的開關3斷開，於是電阻4便停止發熱，爐子逐漸冷下來。倘若爐子的溫度比給定值低，則我們讓開關3合上，於是電阻4發熱，爐子的溫度逐漸上升到給定值。

由此可見，在人工調整中包含着這樣幾個步驟：

- (1) 測量被調整量；
- (2) 將所測得的被調整量的值和給定值進行比較，得出誤差；
- (3) 根據誤差的性質來轉化為調整動作。

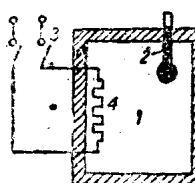


圖 1-1

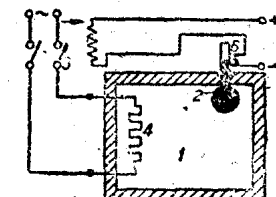


圖 1-2

因此，倘若要用自動調整來代替人工調整，那末，在自動調整系統中，必須包含三種機構，即：(1) 測量機構，(2) 比較機構，和(3) 執行機構。同時，由於在人工調整中，將被調整量和給定值進行比較是靠調整人員來進行，因此，關於給定值的問題，只要調整人員心中有數就行了。而在自動調整系統中，則必須將給定值在系統中具體的體現出來，從而自動調整設備還應該有引入給定值的設備。我們把它稱為命令機構。

下面讲一个具体的例子。图 1-2 是一个最简单的温度自动调整系統的原理图。在这一图中，3 所代表的，不是一个普通的开关，而是一个继电器。这继电器的触头接在交流电源的电路中，当继电器的繞組中沒有电流时，继电器的触头是閉合的。此外，在溫度表 2 中，还引出了两根导綫 5、6 作为接头。继电器繞組和直流激磁电源的連接法如图所示。

当炉子 1 的温度高于給定的温度时，溫度表中的水銀柱上升得超过接头 6，从而将继电器繞組的电源接通，继电器开始动作，使得电阻 4 的交流电源切断，于是电阻停止发热，炉子的温度逐渐降低下来。当炉子的温度低于給定值时，溫度表中的水銀柱下降得低于接头 6，这时，继电器繞組和电源沒有接通，触头在常閉的位置，于是有电流流过电阻 4，使得炉子的温度上升。自動調整就是这样进行着。在这一系統中，显然，炉子是被調整对象；溫度是被調整量；溫度表 2 是測量元件；接头 6 是給定值；由接头 5，6 所連成的继电器激磁繞組的供电綫路，是比较机构；继电器本身是执行元件。

到这里，自動調整系統的基本原理便很清楚了。它和人工調整一样，也是由測量元件測量了被調整量，把它和給定值比較，得出誤差，然后由誤差来控制执行元件，从而达到减少誤差的目的。由上述的溫度自動調整系統也不难看出，当初是被調整量（炉子的溫度）使測量元件动作，其次測量元件的輸出和給定值相比得出誤差，誤差使执行元件动作，执行元件的动作最后又反过来改变被調整量的值。自動調整系統的各种机构就是这样按照一定的順序，一个影响一个，周而复始循环不已。

因此，自動調整系統的特点，在于它是一个閉环系統。用下列方框图（图1-3）可以清楚地把这个特点表現出来。显然，命令机构不包含在閉环系統之内。

在人工調整中，假如把工作人員也看作是調整系統的一个組成部分，那末，人工調整系統也是一个閉环系統。在这种閉环系統中，比較机构和执行机构是由人来担任的。

然而應該指出，在自動調整系統中，也有按开环系統來工作的。这种系統是利用某些元件的内部物理性质来完成調整作用的。例如，利用輝光放电管的稳压装置便是一个具体的例子。輝光放电管是一种二极管（板极和冷阴极），管中装有惰性气体，它的表示方法如图1-4(甲)所示。这种二极管的伏安特性曲綫則如图1-4(乙)所示。这特性曲綫

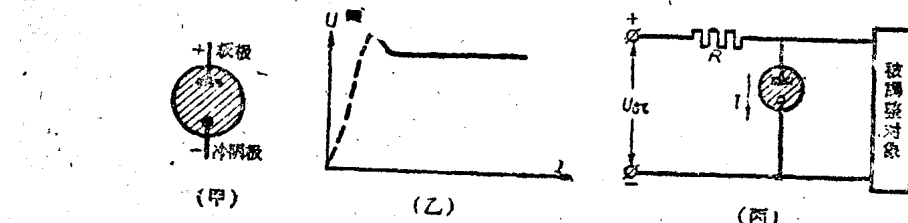
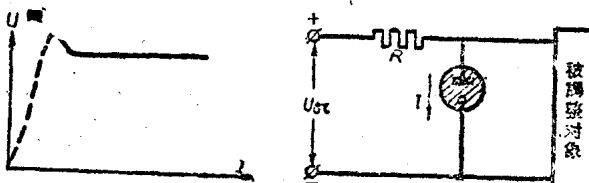


图 1-3

虛綫的一部分代表二級含气管尚沒有輝光放电时，管中只有电子流的情形；特性曲綫的水平部分代表二級含气管已經輝光放电后的情形，这时尽管含气管中的电流在相当大的范围内变化，含气管两端的电压实际上沒有什么变动。就利用含气管这一段特性，可以达到自動稳定电压（直流电压）的目的。自動稳定电压的线路如图1-4(丙)所示。需要稳压的



(甲)

(乙)

(丙)

图 1-4

对象和含气管并联后，经过限流电阻  $R$  接到电源。当电源电压  $U_{ox}$  升高时，含气管中的电流增加，而电压不变，这使得电阻  $R$  上的电压降相应的增高。相反，当电源电压  $U_{ox}$  降低时，含气管中的电流减少，但两端的电压不变，这使得电阻  $R$  上的电压降相应的减小。因此，这种开环系统也可以在一定范围内完成自动调整电压的任务。不过，自动调整原理不以这种调整系统为研究对象。

## 1-2 自动调整系统的分类

上一节中我们介绍了自动调整系统的任务和特征。现在来讲自动调整的分类。

自动调整系统可以从一些不同的角度来进行分类，即：(1)按被调整量的物理性质分类；(2)按系统有无放大器分类；(3)按给定值变化的规律分类；(4)按调整动作与时间的关系分类；(5)按被调整量的稳定值是否受外来扰动的影响分类等等。

(1)按被调整量的物理性质分类——可以分为：电调整系统，机械调整系统，热调整系统等等。

(2)按系统有无放大器分类——不含放大器的系统称为直接调整系统；含有放大器的系统称为间接调整系统。

直接调整系统的优点是设备简单，可是在这种系统中，执行机构所消耗的功率是由误差信号来供给，而误差信号的功率一般很小，常常不足以使执行机构动作，因此这种系统不够灵敏或者说准确度小。

在间接调整系统中，误差只作为控制信号，执行机构所消耗的功率是由供给放大器的外界能源来供给，因此这种系统的准确度比较高。在现代的自动调整系统中，很少用直接调整系统，譬如就图 1-2 所示的自动调整温度的系统来说，不难看出，并不是继电器绕组中的电流(它代表误差)直接使电阻  $R_4$  发热，而是作为控制信号来控制触头的开闭。调整温度所需要的功率，是由外界的交流电源供给的。因此，这个系统中的继电器，除了是执行元件以外，还同时担任了放大器的作用。这个系统乃是一个间接调整系统。

(3)按给定值变化的规律可以分为下列三类：

1. 恒值调整系统：使被调整量保持恒定或者基本上保持恒定的自动调整系统，称为恒值调整系统。图 1-2 所示的保持温度恒定的系统，可以当作这种系统的一个例子。

2. 循序调整系统：在这种系统中，被调整量按一定的事先确定了的规律变化。例如在熔炼金属时，熔炼炉的温度往往要按一定的规律变化，才能满足冶金的要求。这时便要用循序调整系统。这种系统与恒值调整系统的区别在于：前者的给定值是时间的已知函数，而后的给定值是常数。显然，循序调整系统具有比较复杂的命令机构。

3. 随动系统：在这种系统中，被调整量的给定值可在广大范围内随意变化，也就是给定值的变化规律事先不能确定。这种系统的实例如工业上常用的同轴旋转设备以及国防上用的由雷达控制的高射炮等。下面举一个简单的例子。

如图 1-5 所示，图中有两个电位计。电位计 1 的可动片装有旋转手柄，电位计 2 的可动片则与电动机 4 的电枢以及负载 5 装在同一轴上，一起旋

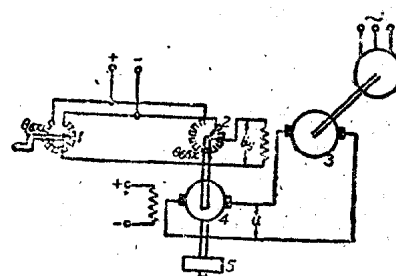


图 1-5

轉。两个电位計固定的两端并联接在直流电源上，两个电位計的可动片則分別接在他激发电机的激磁繞組的两端。他激发电机的电樞由三相同步电动机带动作恆速旋轉，发电机的电压則接在他激电动机的电樞上。

当两个电位計的可动片位于相应的位置时，也就是当电位計 1 可动片的旋轉角  $\theta_{ox}$  和电位計 2 可动片的旋轉角  $\theta_{aux}$  相等时，两个电位計可动片之間的电压为零，从而他激发电机的激磁电压等于零。这时，发电机的电樞电压当然等于零，于是他激电动机不轉动。假如我們将电位計可动片的手柄轉动一个角度，便得  $\theta_{ox} \neq \theta_{aux}$ 。这时发电机的激磁电压不再为零，激磁电压的大小和  $(\theta_{ox} - \theta_{aux})$  的絕對值成正比。激磁电压的极性和  $(\theta_{ox} - \theta_{aux})$  的符号有关，因此，发电机电樞电压的大小和极性决定于  $(\theta_{ox} - \theta_{aux})$  的大小和极性。

当发电机的电樞电压加在电动机的电樞上时，电动机带动負載和电位計 2 的可动片一起旋轉，旋轉的方向是使得  $(\theta_{ox} - \theta_{aux})$  減小。显然，当轉到  $\theta_{ox} = \theta_{aux}$  时，发电机的激磁电压重新等于零，这使得发电机的电樞电压变得等于零，于是电动机停止旋轉，两个电位計的可动片重新停留在新的对应位置上。

因此，尽管两个旋轉軸之間沒有机械联系，然而，电位計 2 的轉軸，随时都有轉到与电位計 1 轉軸相应位置的趋势。在这一系統中，电位計 1 的可动片的轉角  $\theta_{ox}$  为給定值；电位計 2 的可动片的轉角  $\theta_{aux}$  是被調整量；由两个电位計和直流电源接成的电路是比較机构；两个电位計的可动片之間的电压  $U_y$  是誤差。显然，在这一系統中，誤差仅仅作为控制信号；而調整动作的功率是由他激发电机把外界的机械能变成电能来供给的。因此，发电机在这个系統中，起着放大器的作用，而他激电动机起着执行机构的作用。

由上一例子中可以看出，給定值  $\theta_{ox}$  既不是常數，也不需要事先确定。此外，在隨动系統中，尽管有各种不同的原理图，但总有一个是主动的，例如上一例子中的旋轉手柄；也总有一个是跟随着動的，如上一例子中的电位計 2 的轉軸。有时把主动的机构称为发送机，从动的机构叫做接收机。

(4)按調整动作与时间的关系可分为：連續調整系統，脉冲(断續)調整系統和继电器調整系統。

連續調整系統的特征是：这种系統的一切組成部分，其輸出都是其輸入的連續函数。图1-5所示的隨动系統就是一个連續調整系統。

脉冲調整系統的特征是：这种系統总含有一个这种元件，連續作用的輸入通过这种元件后，变为具有一定周期的暫短脉冲。

继电器調整系統的特征是：这种系統至少含有一个继电器。在继电器中，当輸入量达到一定值时，会发生輸出量的突变。例如图1-2所示的系統就是一个继电器調整系統。

(5)按被調整量的穩定值是否受外来扰动的影响，可以分为两类：无呆滞系統和有呆滞系統。

1.无呆滞系統的特征是：在稳定状态下的被調整量的值总保持恆定，它与外来作用无关。

图 1-6 所示的自動調整电压的系統，便是无呆滞調整系統的一个例子，图中他激发电机的电樞由一三相同步电动机带动作匀速旋轉，发电机的激磁繞組与一可变电阻  $R$  串

联后接到固定的直流电源上，可变电阻可动片与他激直流电动机同轴，发电机的输出电压  $U$  和给定电压  $U_0$ ，依相反的极性串联后，把这两个电压的差  $\Delta U$ （误差）作为放大器的输入，而放大器的输出则接在电动机的电枢上。显然，当发电机的端电压与给定电压有差别时，即  $\Delta U \neq 0$  时，电动机将按照放大后  $\Delta U$  的大小和符号，以一定的速度和方向旋转，从而改变发电机的激磁来减小误差。不难看出，只要有误差存在，电动机便转个不停，调整动作便不会终止，直到发电机的端电压与给定值相等时为止。因此，无呆滞有下列两个特点：

- 甲、只有被调整量与给定值相等时，系统才能稳定。
- 乙、当被调整量为同一值时，系统的执行机构可能占据不同的位置。

要使系统具有上述这两个特点，系统必须含有一种元件。当有输入时，这种元件的输出不断的加大；当没有输入时，它的输出等于零。图 1-6 中的电动机 3 便具有这种性质：当输入  $\Delta U \neq 0$  时，电动机转个不停；当输入等于零时，它随处都可以停下来。以后

(第 3-2 节) 我们要讲到，这种元件叫做无呆滞元件或积分元件。它是无呆滞系统所必需的。

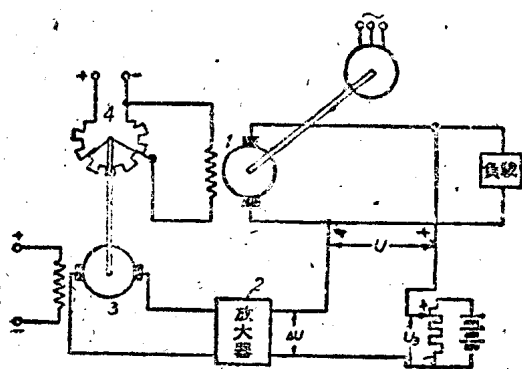


图 1-6

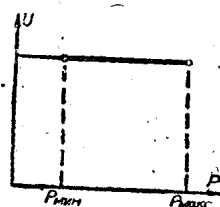


图 1-7

无呆滞系统用在对调整过程要求比较高的地方，它的特性曲线如图 1-7 所示，随动系统都是无呆滞系统。

2. 有呆滞系统的特征是：稳定状态下被调整量的值与外来扰动的大小有关；在这种系统中，调整器固然可以减小外来扰动所引起的偏差，然而却不能使被调整量准确地达到给定值。外来扰动（例如负载）愈大，被调整量的稳定值与给定值相差也愈大，图 1-8 所示的自动调压系统便是一个有呆滞系统。在这一系统中，他激发电机的电枢由三相同步电机带动作匀速旋转，发电机的输出电压  $U$  和给定电压  $U_0$ ，依相反的极性串联后，作为放大器的输入，放大器的输出则接在发电机的激磁绕组上。由图中不难看出，误差  $U - U_0 = \Delta U$ ，倘若  $\Delta U = 0$ ，那就不会有调整动作，但同时也沒有激磁了。因此，系统不可能

停留在这种状态，也就是说，在这种系统中，误差总是难免的。关于这种系统的特性曲线如图 1-9 所示。有呆滞系统的特点

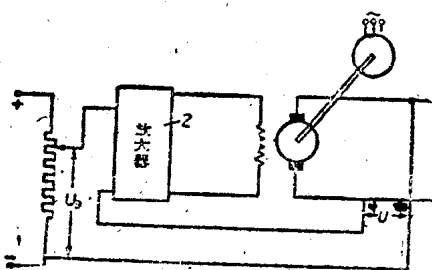


图 1-8

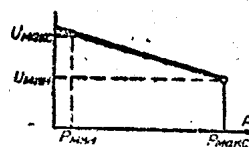


图 1-9

可以陈述如下：

甲、在一定范围内，被调整量为任意值时，系统都可以平衡。

乙、被调整量的稳定值与系统的调整机构的位置成单值对应。

既然有呆滞系统在稳定状态下总会有误差存在，为了便于对误差作出量的估计起见，我们引用“呆滞度”这个新的概念，它由下列关系式来确定

$$S = \frac{x_{max} - x_{min}}{x_{min}} \quad (1-1)$$

其中  $x_{max}$  与  $x_{min}$  分别代表当负载变动时被调整量的最大值与最小值。

在稳定状态下，开环系统输出端的增量与引起它的输入端的增量的比值，称为开环系统的放大系数（或传递系数）。

现在由上述的调压系统（图1-8）来推导呆滞度与放大系数之间的关系。

在调压系统中输入的增量为

$$\Delta U = U_s - U \quad (1-2)$$

而开环放大系数

$$k = \frac{U}{\Delta U} \quad (1-3)$$

由图1-8中不难看出在开环  $\Delta U = 0$  时， $U = 0$ ，因此，在这里  $U$  应该理解为输出的增量。

由(1-2)式及(1-3)式可以求得

$$U_s = U + \Delta U = U \left( 1 + \frac{1}{k} \right)$$

或者

$$\frac{U}{U_s} = \frac{k}{1+k} \quad (1-4)$$

比值  $\frac{k}{1+k}$  称为闭环系统的放大系数，在后面（第5-3节）我们还要讲到它。

在调压系统中

$$S = \frac{U_{max} - U_{min}}{U_{max}} = \frac{U_s - U}{U_s} = 1 - \frac{U}{U_s}$$

将(1-4)式代入上式，便得

$$S = 1 - \frac{k}{1+k} = \frac{1}{1+k} \quad (1-5)$$

当  $k \gg 1$  时，可以大致上认为

$$S = \frac{1}{k} \quad (1-6)$$

即呆滞度与放大系数成反比。因此，要减小系统的呆滞度应该增加放大系数。

### 1-3 对自动调整系统所提出的基本要求

实际生产过程对自动调整各有其一定的具体要求，倘若只有了自动调整系统的原理图，例如我们前面所举的调压系统的线路图，还不能保证系统就能很满意的工作。实际上，任何调整系统的组成部分总含有一些如电容、电感、质量等等储藏能量的元件，例如调压系统中激磁绕组的电感、电动机电枢的转动惯量便是。在调整过程中，这种元件使得执行机构的动作不能即时地随着误差变化，而是总有些延缓。于是，当被调整量已

經達到給定值時，執行機構由於慣性的關係，在短時間內還繼續向原來的方向進行，這會使被調整量超過給定值，從而產生符號相反的誤差。於是執行機構向反方向動作，同樣由於慣性的關係，又會使被調整量低於給定值。因此，一般說來，被調整量往往會在給定值兩旁擺動，調整過程往往是一個振動過程。這振動若是減幅振動，則系統最後會達到平衡狀態，這時，我們便說系統是穩定的；否則系統就是不穩定的。不穩定的系統根本無法自動調整，因此，穩定性是調整系統性能的一個重要的標誌，也可說是對調整系統的一個基本要求。

然而，調整系統僅僅能滿足穩定性的要求還是不夠的。例如每種生產過程對於調整過程的快慢、振動次數以及被調整量與穩定值的最大相差，都會有某種要求。上述這三點統稱為系統的品質。

除了系統的穩定性與品質以外，還有一個對系統的基本要求，就是準確度。準確度代表系統達到平衡狀態後被調整量與給定值的差額。顯然，差額愈小，準確度愈高，無呆滯系統的準確度為100%。

系統受外來擾動時，緊接着就引起調整過程，經過足夠長的時間以後，調整過程結束，系統恢復到穩定狀態。調整過程的特點，由穩定性與品質來標明；而穩定狀態的特點則由準確度標明。因此準確度屬於系統的靜特性，穩定性與品質屬於系統的動特性。

儘管調整系統的種類很多，但從上列的基本要求——準確度、穩定性、品質——着眼，便不難建立關於自動調整的普遍理論。因此，這些基本要求也是調整理論的中心問題。

## 第二章 自動調整系統的對象和元件

要對調整系統作全面的分析，首先必須對系統的每一個組成部分的性能有清晰的了解。前面提到過，調整系統是由調整對象和調整器組成的；它們的種類又很多，例如有屬於機械方面的，有屬於電氣方面的、光學方面的等等，而每一種中又有各式各樣結構和型式。在這裡，我們限於篇幅，不能作比較全面的介紹，因此，只就其中選幾種來討論一下。

### 2-1 調整對象

在調整電壓的自動調整系統中，發電機是調整對象；在調整轉速的自動調整系統中，電動機可作為調整對象。關於電機的結構及原理，另有專門的書討論，我們要講的主要就是誘導關於它們的微分方程式。

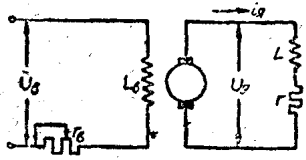


圖 2-1

(1) 他激直流發電機——這種電機的原理圖如圖 2-1 所示。在誘導它的方程式時，為了使問題簡化起見，我們假定激磁繞組的電感是常數；其次假定我們是變動激磁電壓  $U_s$  來調整電機的電壓，也就是說  $U_s$  是時間的函數，或者

$$U_s = U_s(t) \quad (2-1)$$

發電機激磁繞組中的電阻和電感分別用  $L_s$  和  $r_s$  來代表，而用  $i_s$  來代表激磁電流，則激磁電路的方程式可以寫為

$$L_s \frac{di_s}{dt} + r_s i_s = U_s(t) \quad (2-2)$$

而電樞電路的方程式可以寫為

$$L_a \frac{di_a}{dt} + r_a i_a = U_a \quad (2-3)$$

其中  $L_a$  和  $r_a$  為負載的電感和電阻， $U_a$  為電樞電壓。由於不考慮鐵心對繞組的影響，故磁化曲線可以用直線表示，或者

$$U_a = k' i_a \quad (2-4)$$

其中  $k'$  代表磁化曲線的斜率。將(2-4)式中的  $i_a$  的值代入(2-2)式中得

$$L_s \frac{d}{dt} \left( \frac{U_a}{k'} \right) + r_s \left( \frac{U_a}{k'} \right) = U_s$$

將上式作變換，並用表示符號

$$T = \frac{L_s}{r_s}; \quad k = \frac{k'}{r_s}$$

其中  $T$  為時間常數， $k$  為放大系數，我們得到

$$T \frac{dU_a}{dt} + U_a = k U_s \quad (2-5)$$

我們以後有時用  $p$  來代表微分運算  $d/dt$ ，這僅僅是為了方便，沒有什麼特別的意義。當用這種符號時，(2-5)式便可以寫成

$$T_p U_s + U_s = kU_s \quad (2-6)$$

或

$$(T_p + 1) U_s = kU_s$$

(2)他激直流电动机——假定他激直流电动机的磁场保持不变，而变动它的电枢电压来调整转速。现在来诱导关于它的微分方程式。

在诱导电动机的方程式时，除了电路电压的方程式以外，还须写出其力学方面的动平衡方程式。这是因为电动机的转速不但随着它本身电压、电流的不同而发生变化，同时还受它本身力学条件的影响。由力学中知道，关于物体转动的方程式是：

$$J \frac{d\omega}{dt} = \Sigma M \quad (2-7)$$

其中  $J$  是旋转物体的转动惯量； $\omega$  是物体的角速度，从而  $\frac{d\omega}{dt}$  是角加速度； $\Sigma M$  是加于旋转物体一切力矩的代数和。

在目前的情况下，加于电动机转轴上的力矩，包含着由电动机发出的原动力矩和加于转轴上的阻力矩。我们用  $M_d$  代表原动力矩，则由电机学中知道：

$$M_d = C_d \Phi i_s \quad (2-8)$$

其中  $C_d$  为常数； $\Phi$  为激磁绕组中的磁通； $i_s$  为电枢电流。

我们用  $M_c$  代表阻力矩，它包含负载加于电动机的制动力矩以及摩擦力矩等。在一定的工作情况下， $M_c$  为常数。于是电动机转轴上的总力矩可以写为

$$\Sigma M = M_d - M_c \quad (2-9)$$

例如

$$M_d = M_c, \text{ 则 } \frac{d\omega}{dt} = 0.$$

这就表示电动机在匀速转动状态(或处于静止状态)；例如

$$M_d \neq M_c, \text{ 则 } \frac{d\omega}{dt} \neq 0.$$

这就表示电动机是在加速或减速状态。

将(2-9)式代入(2-7)式中，并考虑到(2-8)式时，便得

$$J \frac{d\omega}{dt} = M_d - M_c = C_d \Phi i_s - M_c \quad (2-10)$$

在实用中往往不用  $J$ ，而用飞轮力矩。而每个旋转物体围绕其自身重量的轴的转动惯量，又等于它的质量  $m$  与环动半径  $\rho$  的平方的乘积，即

$$J = m\rho^2$$

现在用  $G$  代表物体的重量， $g$  代表重力加速度， $D$  代表环动直径，则显然

$$m = \frac{G}{g}; \rho^2 = \frac{D^2}{4},$$

$$\text{故 } J = m\rho^2 = \frac{G}{g} \times \frac{D^2}{4} = \frac{GD^2}{4g} \quad (2-11)$$

在实用中往往不用角速度  $\omega$ ，而用每分钟的旋转次数  $n$ ，显然

$$\omega = 2\pi \times \frac{n}{60} \quad (2-12)$$

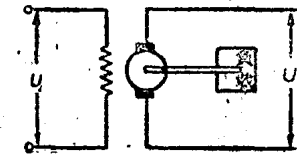


图 2-2

于是

$$J \frac{d\omega}{dt} = \frac{GD^2}{4g} \times \frac{d}{dt} \left( \frac{2\pi}{60} n \right) = \frac{GD^2}{375} \frac{dn}{dt}$$

于是(2-10)式可以写为

$$\frac{GD^2}{375} \times \frac{dn}{dt} = C_s \Phi i_s - M_c \quad (2-13)$$

或

$$\frac{GD^2}{375} pn = C_s \Phi i_s - M_c \quad (2-14)$$

此外，电枢电路的方程式是

$$U = e + L_s \frac{di_s}{dt} + i_s r_s \quad (2-15)$$

其中  $L_s$  和  $r_s$  代表电枢电路中的电感和电阻； $i_s$  代表电枢电流； $U$  代表加于电动电枢上的端电压； $e$  为电枢电路中的反电势。大家知道，

$$e = C_s \Phi n \quad (2-16)$$

其中  $C_s$  是常数，和前面一样； $\Phi$  和  $n$  仍代表激磁磁通和电枢每分钟的旋转数。

将(2-16)式中的  $e$  代入(2-14)式，便得

$$U = C_s \Phi n + L_s p i_s + i_s r_s \quad (2-17)$$

由(2-14)式和(2-17)式中消去  $i_s$ ，便得

$$\begin{aligned} & \frac{L_s}{C_s C_m \Phi^2} \times \frac{GD^2}{375} p^2 n + \frac{r_s}{C_s C_m \Phi^2} \frac{GD^2}{375} pn + n \\ &= \frac{1}{C_s \Phi} U - \frac{M_c}{C_s C_m \Phi^2} (L_s p + r_s) \end{aligned} \quad (2-18)$$

由于他激电动机的磁通保持不变，故  $\Phi$  为常数。此外  $C_s$ 、 $C_m$ 、 $G$ 、 $D$ 、 $L_s$ 、 $r_s$  也都是常数。因此我们引入下列表示符号

$$\begin{aligned} k &= \frac{1}{C_s \Phi}, \quad k' = \frac{r_s}{C_s C_m \Phi^2} \\ T_s &= \frac{L_s}{r_s}, \quad T_m = \frac{GD^2}{375} \times \frac{r_s}{C_m C_s \Phi^2} \end{aligned}$$

用上列表示符号时，(2-18)式可以简化为

$$T_m T_s p^2 n + T_m p n + n = k U - k' M_c (1 + T_s p) \quad (2-19)$$

上式为电动机在激磁不变而变更电枢电压的情况下，关于转速和它的端电压之间的微分方程式。显然当  $M_c = 0$  时，方程式简化为

$$T_m T_s p^2 n + T_m p n + n = k U \quad (2-20)$$

代表在稳定状态下（即  $\frac{dn}{dt} = pn = 0$ ，以及  $\frac{d^2 n}{dt^2} = p^2 n = 0$  时），输出量  $n$  和输入量  $U$  之比，所以  $k$  称为放大系数。

由  $T_m$  的表达式中，不难看出  $T_m$  具有时间的因次，所以  $T_m$  称为电动机的电力时间常数。

$T_s$  为电枢电路中的电感和电阻的比值，和前面发电机  $T = \frac{L_s}{r_s}$  的情形相仿，这里我们称  $T_s$  为电枢电路的时间常数。

## 2-2 調整器元件

調整器元件可以分为測量和比較元件、放大元件、执行元件等。下面我們每样略举几种來討論一下。

(1) 测量和比較元件——測量元件的任务是測量被調整量的值。比較元件的任务是将所測得的被調整量的值和給定值相比，从而得出誤差信号。下面分別討論关于轉速、溫度、轉角的測量和比較元件。

### 1. 关于轉速的測量和比較元件

甲、差动齒輪系：差动齒輪系的原理图如图 2-3 所示。在支架 4 中，装有包含三个伞形齒輪的齒輪系，齒輪 1, 2 的軸可以在支架的槽中自由旋轉，齒輪 3 的軸則裝在支架上，可以和支架一起旋轉。这种設備可以用在自動調整轉速系統中，作为測量和比較元件来利用，将齒輪 1 的軸与給定轉速机构的軸相連，例如，同步电动机的轉速是恆定的，齒輪 1 便可以与同步电动机的軸相連，齒輪 2 与調整对象的轉軸相連，并且使齒輪 1, 2 依相反的方向旋轉。于是不難看出，当被調整轉速与給定轉速剛好相等时，則齒輪 3 靜止不动；假如被調整轉速与給定轉速不相等，則齒輪 3 連同支架将以齒輪 1 和齒輪 2 的轉速差为轉速来旋轉。当齒輪 1 的轉速大于齒輪 2 的轉速时，齒輪 3 依某一方向旋轉；当齒輪 1 的轉速小于齒輪 2 的轉速时，齒輪 3 便依相反的方向旋轉。

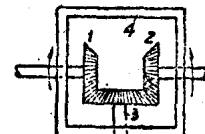


图 2-3

除了差动齒輪系以外，还有其他的方法来測量和比較轉速，用得比較普遍的是所謂測速发电机。

乙、測速发电机：測速发电机是一种小型的直流电机或交流电机，当某种设备的轉速需要測量时，便把它与該设备的轉軸相連。由于这种电机的电势与轉速成正比，因此，便可以不直接处理轉速，而只要处理和它等效的电势。譬如給定值的問題，在前面差动齒輪系中，我們便需要找一个速度保持不变的设备，現在只要用一組电池就够了。此外，在差动齒輪系中，給定值的设备与測量元件不能相距远了，否則很不方便。在用測速发电机时，便不受这种限制。下面簡單的介紹一下測速发电机的工作原理。

測速发电机可以分为直流測速发电机和交流測速发电机。直流測速发电机是一它激或永磁式的直流发电机，其电势

$$e_T = C_e \Phi n$$

其中  $e_T$  是測速发电机的电势； $C_e$  是常数； $\Phi$  是磁通； $n$  是轉速。

因为在測速发电机中， $\Phi$  总保持常数，故可以将上式中的  $C_e \Phi$  并为一个常数，于是

$$e_T = \alpha n \quad (2-21)$$

其中  $\alpha = C_e \Phi$ 。

同步发电机可以作为交流測速发电机来使用，这种发电机的电势(和频率)和轉速成正比。

除了上述的同步发电机以外，轉子短路的感应发电机，也可以作为交流測速发电机来使用。这种电机的定子中有互相正交的两个繞組，我們把它称为繞組  $\alpha, \beta$ 。当一个繞組，例如繞組  $\alpha$  中接有交流电源，并假定轉子不动时，则尽管繞組  $\alpha$  中的电流会产生脉动的

磁通，可是由于繞組 $\beta$ 与繞組 $\alpha$ 正交，所以在繞組 $\beta$ 中沒有感应电势。当轉子旋轉时，短路轉子中的电流所产生的磁通会割切繞組 $\beta$ 中的导体，于是在繞組 $\beta$ 中便有电势，这电势的大小也与轉速成正比。

可以利用測速发电机作为测量元件，固定的电源(直流或交流)作为給定值，連成簡單的线路来得出誤差。例如图2-4中表示一用直流測速发电机来测量和比較轉速的线路，电池組 $\epsilon$ 接在一电位計上，在电位計上的 $A\Gamma$ 一段上的电压是給定值。由于 $A$ 是連到电位計的可动片，这样便可以在不同的情况下变动給定值。发电机的电势和給定电势是依相反的极性連接的，因此，当它們不相等时， $AB$ 两端会出现誤差电压。电压的极性可以代表轉速是过高还是过低；电压的大小則与轉速誤差的大小成正比。

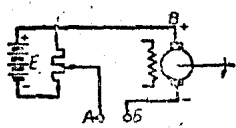


图 2-4

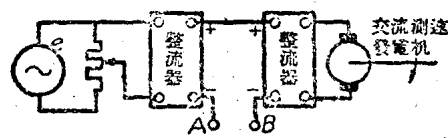


图 2-5

图 2-5 代表一用交流測速发电机来测量和比較轉速的线路。不难看出，这一线路与前一线路大体上是相似的，只不过是将电池組換成了交流电源 $\epsilon$ ，再就是添了两个整流器。这是因为两个交流电压相减，会受彼此間相位的影响，因此就用整流器先把它們变为直流电压然后相减。

## 2.关于温度的測量和比較元件：

一般說，导体的电阻会随着其温度的升高而增加，随着其温度的降低而減小。利用这种物理性质可以作出測量温度的仪器，称为电阻溫度計。假定某个場合的溫度需要調整到一定的值，那末，将电阻溫度計放在被控制的場合中，再連成一个如图 2-6 所示的桥式电路，把电阻溫度計作为电桥的一个臂，并且这样来给出給定值，就是变动 $R_1$ ，使得在我們所需要的溫度时， $AB$ 两端的电压等于零。当被調整对象的溫度与給定值有差別时，则由于电阻溫度計电阻的变动，破坏了电桥的平衡，于是在 $AB$ 两端有电压出現，电压的极性指出被調整的溫度是太高了还是太低了。电压的大小代表誤差的大小。



图 2-6

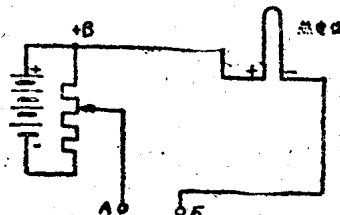


图 2-7

还可以利用热电偶來作为測量溫度的元件。大家知道，热电偶是利用电学中热电效应，所作成的元件。热电偶能直接将溫度变成电势。假定某个場合的溫度需要調整，則把热电偶連成如图 2-7 所示的电路，并把該热电偶放在需要調整溫度的物体中。我們这样变动电位計的可动片，使得在需要的溫度时，电位計上 $AB$ 一段的电压和热电偶所产生的电压大小相等，极性相反，因此，在 $AB$ 两端的电压便等于零。当調整对象的溫度与給定值有差別时， $AB$ 两端便有电压出現，从电压的极性可以看出被調整的溫度是太高了还是太低了。电压的大小則代表誤差的大小。